

بررسی جریان و خواص ترموفیزیکی نانو سیال‌ها در نانو کانال با استفاده از شبیه‌سازی دینامیک مولکولی

رضا هنرخواه*

یونس بخشان

محمود رحمتی

جمشید خورشیدی مال احمدی

دانشجوی دکتری، گروه مهندسی مکانیک، دانشگاه هرمزگان، بندرعباس، ایران

دانشیار، گروه مهندسی مکانیک، دانشگاه هرمزگان، بندرعباس، ایران

استادیار، گروه مهندسی شیمی، دانشگاه تحصیلات تکمیلی صنعتی و فناوری پیشرفته، کرمان، ایران

استادیار، گروه مهندسی مکانیک، دانشگاه هرمزگان، بندرعباس، ایران

چکیده

در مقاله حاضر، ابتدا ضربی رسانای گرمایی نانو سیال با چهار نوع ذره شامل مس، نقره، پلاتین و طلا با سیال پایه آب درون یک نانو کانال مسی با استفاده از روش دینامیک مولکولی غیر تعادلی با میدان نیرو Pc_{eff} محاسبه شده است. نتایج نشان می‌دهد که نانو سیال نقره بیشترین افزایش ضربی رسانای گرمایی را دارد. بررسی برهمنکش و تمایل بین آب و نانو ذره با استفاده از آنالیز تابع توزیع شعاعی (RDF) و ضربی نفوذ Cp, Cv به روش دینامیک مولکولی تعادلی مورد بررسی قرار گرفت، بررسی‌ها نشان می‌دهد که با افزایش نانو ذره به آب مقدار گرمایی ویژه در فشار و حجم ثابت کاهش می‌یابد. در بررسی نمودار توزیع چگالی اتم‌ها، نتایج نشان داد که بیشترین شدت چگالی مربوط به نانو ذره نقره و بیشترین ضخامت لایه آب تشکیل شده در کنار نانو ذره طلا می‌باشد. لزجت نانو سیال‌ها از دو روش دینامیک مولکولی تعادلی و غیرتعادلی نیز محاسبه و مشخص گردید با افزایش نانو ذره در نانو سیال، لزجت آن افزایش می‌یابد.

واژه‌های کلیدی: رسانای گرمایی، میدان نیرو، pc_{eff} ، تابع توزیع شعاعی، ضربی نفوذ، مقدار گرمایی ویژه، لزجت.

Analysis of Flow and Thermophysical Properties of Nanofluids In a Nanochannel using Molecular Dynamic (MD) Simulation

R. Honarkhah

Department of Mechanical Engineering, Hormozgan University, Bandarabbas, Iran

Y. Bakhshani

Department of Mechanical Engineering, Hormozgan University, Bandarabbas, Iran

M. Rahmati

Department of Chemical Engineering, Graduate University of Advanced Technology, Kerman, Iran

J. khorshidi Mal Ahmadi

Department of Mechanical Engineering, Hormozgan University, Bandarabbas, Iran

Abstract

In the present paper, using the non-equilibrium molecular dynamic (NEMD) method, thermal conductivity coefficient of water based nanofluids was calculated and the influence of the metal nanoparticles type with four particle types including copper, silver, platinum, and gold inside a cooper nanochannel was investigated. Also, Pc_{eff} force field was used for modeling of the bonded and un-bonded interactions among the molecules of water, nanoparticles, and the walls. The results, show that the silver nanoparticle has the maximum effect on the increasing of the nanofluid thermal conductivity coefficient. The interaction and tendency between water and nanoparticles were investigated by using of the radial distribution function (RDF) analysis and the diffusion coefficient of the nanofluid inside the nanochannel was then evaluated. Moreover, the thermodynamic properties of nanofluids including Cv and Cp were studied by using equilibrium molecular dynamic (EMD) method. The studies indicate that by adding nanoparticles to water, the specific heat value is reduced in constant pressure and volume, of which the minimum and maximum specific heat reduction is related to copper and platinum nanoparticles. By investigating the diagram of atoms' density distribution, it was found that the highest density is related to the silver nanoparticle and the maximum thickness of water layer is formed alongside with the gold nanoparticle. The viscosity of the nanofluids was also calculated by two methods of equilibrium and non-equilibrium dynamics and it was specified that the viscosities obtained for the nanofluids were increased by adding the nanoparticles to water fluid.

Keywords: Thermal Conductivity Coefficient, Pc_{eff} Force Field, Radial Distribution Function, Diffusion Coefficient, Specific Heat Value, Viscosity.

دینامیک مولکولی اولین بار توسط Alder² در سال ۱۹۵۶ معرفی شد. روش استاندارد شبیه‌سازی در محاسبات فیزیک آماری مطرح گردید. دینامیک مولکولی یک فن محاسباتی قدرتمند برای شبیه‌سازی رفتار واقعی مواد با کمک حل معادله حرکت برای یک سیستم ذرات است.

۱- مقدمه

روش دینامیک مولکولی¹ یکی از متداول‌ترین روش‌های عددی برای مدل‌سازی رفتار مواد در مقیاس نانو می‌باشد. روش شبیه‌سازی

² Alder

¹ Molecular Dynamics (MD)

یک کاتال استفاده کرده‌اند. آن‌ها برای مدل کردن پرهمکنش بین سیال و نانوذره از تابع پرهمکنش لنارد-جونز بهره بوده‌اند. نتایج آن‌ها نشان می‌دهد که با افزایش درصد حجمی نانوذره تا $1/4$ درصد حجمی در سیال رسانای گرمایی تقریباً 50 درصد افزایش می‌باید اما افزایش عمق کاتال موجب کاهش رسانای گرمایی نانوسیال می‌شود در صورتی که تأثیر چندانی بر رسانای گرمایی آرگون خالص ندارد. رسانای گرمایی فام و همکاران [۵] به مطالعه پرهمکنش آب و آرگون در نانوکاتال سیلیکون با استفاده از روش دینامیک مولکولی تعادلی پرداخته‌اند و نشان داده‌اند که سیال تمایل زیادی به جذب بر روی سطح دارد که این باعث کاهش اثر دمای دیواره نانوکاتال بر دمای سطح تماس آن‌ها با سیال می‌شود.

هو و همکاران [۶] در کار مشابه دیگری از شبیه‌سازی دینامیک مولکولی تعادلی برای بررسی رفتار حرکتی نانوسیال مس-آرگون در داخل نانوکاتال استفاده کرده‌اند آن‌ها از تابع پرهمکنش لنارد-جونز برای پرهمکنش سیال-سیال، نانوذره-سیال و دیواره-سیال و برای پرهمکنش نانوذره-نانوذره از تابع پرهمکنش EAM استفاده کرده‌اند. نتایج آن‌ها نشان می‌دهد که برخی از مولکول‌های سیال در اطراف دیواره کاتال قرار گرفته و مانند یک جسم جامد عمل می‌کنند و برخی دیگر از آن‌ها روی سطح نانوذره جذب می‌شوند.

به طور کلی می‌توان بیان کرد که معمولاً برای بررسی رسانای گرمایی از روش دینامیک مولکولی تعادلی استفاده می‌شود و اخیراً روش دینامیک مولکولی غیر تعادلی مورد توجه قرار گرفته است و مطالعات شبیه‌سازی در این زمینه کمتر است. به عنوان نمونه ژانگ و همکاران [۷] با استفاده از روش دینامیک مولکولی غیر تعادلی به بررسی رسانای گرمایی سیالات مختلف از جمله آب پرداخته‌اند که در مطالعه آن‌ها از مدل SPC/E برای پرهمکنش‌های بین مولکول آب استفاده شده است. بررسی آن‌ها نشان می‌دهد که مقادیر رسانای گرمایی آب محاسبه شده شده روش دینامیک مولکولی $W/m.K$ (0.0601) اختلاف زیادی با مقادیر آزمایشگاهی (0.0601) دارد [۸].

بریسم و رومر [۹] رسانای گرمایی آب را با استفاده از مدل TIP4P/2005 و روش دینامیک مولکولی غیرتعادلی در دمای K 300 مقدار K $0.97 W/m.K$ محاسبه کرده که اختلاف قابل توجهی برای رسانای گرمایی آب مشاهده می‌گردد [۱۰].

هیو و همکاران [۱۱] به بررسی حریان و رسانای گرمایی نانوسیال آرگون-مس توسط روش دینامیک مولکولی غیرتعادلی پرداخته‌اند. آن‌ها برای مدل کردن پرهمکنش سیال و نانوذره از تابع پرهمکنش لنارد-جوز استفاده کرده‌اند و گزارش کرده‌اند که افزایش قطر نانوذره به همراه افزایش سرعت نانوسیال در کاتال سبب افزایش قابل توجهی در رسانای گرمایی می‌شود اما در صورتی که نانوسیال ساکن باشد، افزایش سایز نانوذره تأثیر چشمگیری بر خواص حرارتی نخواهد داشت.

باتوجه به بررسی دقیق مطالعات شبیه‌سازی انجام شده در این زمینه نشان می‌دهد که در اکثر مطالعات سیال پایه برای سادگی، سیال آرگون انتخاب شده است و کمتر به سیال آب پرداخته شده است. از سوی دیگر بررسی‌ها نیز تائید می‌کنند که شبیه‌سازی ضریب حرارتی آب و یا نانوسیال‌ها با سیال پایه آن به تابع پرهمکنش مورداً استفاده برای آب خلی وابسته است و باعث می‌شود اختلاف قابل توجهی بین

این روش می‌تواند ویژگی‌های فیزیکی مواد را به وسیله عامل اندرکنش بین ذرات پیش‌بینی کند. با استفاده از این روش، خط سیر و جنبش فیزیکی اتم‌ها، مولکول‌ها و نانوذرات درون سیستم را می‌توان تعیین نمود. اتم‌ها اجازه اندرکنش با یکدیگر را دارند و مقادیر متغیر همچون فشار، دما، انرژی و غیره محاسبه می‌شود. همچنین، در این روش می‌توان ویژگی‌های فیزیکی مواد را به کمک فرض کردن یک عامل مناسب بین ذرات پیش‌بینی کرد. هرچند محدودیت‌هایی در شبیه‌سازی دینامیک مولکولی مثل تعداد ذرات و زمان شبیه‌سازی ناشی از قدرت رایانه وجود دارد، ولی در طی چند سال گذشته، افزایش قدرت رایانه‌ها و بهبود مداوم روش‌های شبیه‌سازی باعث شد تا امروزه شبیه‌سازی دینامیک مولکولی از یک مدل آزمایشی فیزیک آماری به یک روش بسیار سودمند برای پیش‌گویی اکثر خواص مواد تبدیل شود. به طور کلی برای محاسبه رسانای گرمایی از دو روش دینامیک مولکولی تعادلی و غیر تعادلی استفاده می‌شود. در روش دینامیک مولکولی تعادلی به عنوان نمونه بوشهری و همکاران [۱۲] به بررسی خواص رسانای گرمایی سیال آب به همراه نانوذرات SiO_2 و Pt با استفاده از روش دینامیک مولکولی تعادلی و رابطه گرین-کوبو^۱ پرداخته‌اند. آن‌ها از مدل SPC/E برای در نظر گرفتن پرهمکنش بین مولکول‌های آب استفاده کرده‌اند و مقدار رسانای گرمایی آب را در دمای 293 $W/m.K$ کلین برابر با 0.63 محاسبه کرده‌اند که همخوانی قابل قبولی بین نتایج شبیه‌سازی و نتایج آزمایشگاهی وجود دارد. بررسی آن‌ها نشان می‌دهد که افزایش غلظت نانوذره موجب افزایش و در صورتی که افزایش اندازه نانوذره موجب کاهش رسانای گرمایی می‌شود و حداقل 8 درصد رسانای گرمایی نانوسیال از آب بیشتر است. همچنین نتایج آن‌ها نشان می‌دهد که نوع نانوذره تأثیر قابل توجهی بر افزایش رسانای گرمایی ندارد.

نوامس و همکاران [۱۳] به بررسی خواص حرارتی نانوسیال‌های مس و نیکل با سیال پایه اکسید دی‌فینیل^۲ توسط روش دینامیک مولکولی تعادلی پرداخته‌اند. نتایج آن‌ها نشان می‌دهد که اضافه کردن نانوذرات نیکل رسانای گرمایی را کاهش و برای نانوذرات مس تقریباً 11 درصد افزایش را به همراه دارد. بررسی و تحلیل آن‌ها نشان می‌دهد که پرهمکنش بین ذرات فلزی و حلقة بنزنی سیال پایه بر خواص هدایت حرارتی نانوسیال تأثیر زیادی دارد.

لی و همکاران [۱۴] از روش دینامیک مولکولی تعادلی به‌منظور بررسی تأثیر دما و اندازه نانوذره بر خواص حرارتی نانوسیال آرگون-مس با استفاده از فرمول گرین-کوبو، رسانای گرمایی نانوسیال را محاسبه کرده‌اند. همچنین آن‌ها برای مدل کردن پرهمکنش سیال و نانوذره از تابع پرهمکنش لنارد-جوز استفاده کرده‌اند. نتایج آن‌ها نشان می‌دهد که افزایش اندازه نانوذره و همچنین درصد حجمی آن در سیال، موجب بهبود خواص حرارتی آرگون می‌شود به طوری که برای نانوسیال با 8 درصد حجمی نانوذره مس با سایز 2 نانومتر موجب افزایش تقریباً 50 درصدی رسانای گرمایی را به همراه دارد. در مورد دما آن‌ها مشاهده کرده‌اند که افزایش دما تأثیر چندانی بر رسانای گرمایی نانوسیال ندارد. فرانک و همکاران [۱۵] از روش دینامیک مولکولی تعادلی و روابط گرین-کوبو برای بررسی خواص گرمایی نانوسیال آرگون-مس در داخل

¹ Green-Kubo

² Diphenyl oxide

خواص آب، مدل‌های برهمنکنش زیادی برای محاسبه خواص ترموفیزیکی استفاده می‌شود که رسانای گرمایی آب از این قاعده مستثنی نیست که در تمامی آن‌ها از تابع پتانسیل برهمنکنش لنارد-جونز^۶، کولومبی به همراه تابع برهمنکنش هارمونیک برای تعیین طول پیوند و زاویه استفاده شده است. تفاوت این مدل‌ها علاوه بر مقادیر توابع برهمنکنش در تعداد سایت‌های فعال، صلب یا انعطاف‌پذیر بودن ساختار و قطبش پذیری است و معمولاً به صورت ساختارهای صلب در نظر گرفته می‌شوند [۱۰]. بررسی مطالعات اخیر درزمنه شیوه‌سازی سیالات و بخصوص آب، نشان می‌دهد که استفاده از میدان نیرو P_{eff} [۱۸-۱۳] نسبت به سایر مدل‌های آب نتایج خوب و قابل قبولی با درصد خطای کمتر در پیش‌بینی خواص آن‌ها نشان می‌دهد؛ که در این مطالعه نیز از این مدل استفاده شده است. در میدان نیرو P_{eff} از توابع برهمنکنش با روابط (۲-۵) برای مدل کردن برهمنکنش‌های بین‌مولکولی و درون‌مولکولی استفاده می‌شود

$$U_{\text{LJ}}^{ij}(r_{ij}) = \epsilon_{ij} \left[2 \left(\frac{\sigma_{ij}}{r_{ij}} \right)^9 - 3 \left(\frac{\sigma_{ij}}{r_{ij}} \right)^6 \right] \quad (2)$$

$$U_{\text{Coul}}^{ij} = B \frac{q_i q_j}{\epsilon_0 r_{ij}} \quad B = 332.0647 \quad (3)$$

$$U_{\text{str}} = \frac{1}{2} k_{\text{str}} (R - R_0)^2 \left[1 + C(R - R_0) + D(R - R_0)^2 \right] \quad (4)$$

$$U_{\text{bend}} = \frac{1}{2} k_{\text{bend}} (\theta - \theta_0)^2 \left[1 + C(\theta - \theta_0) + D(\theta - \theta_0)^2 \right] \quad (5)$$

ضرایب مربوط به توابع برهمنکنش میدان نیرو P_{eff} برای آب در جدول ۱ مشخص شده است.

جدول ۱- مقادیر توابع انرژی برهمنکنش آب با میدان‌های نیرو P_{eff}

| نوع اتم | $\sigma(\text{\AA})$ | $\epsilon(\text{kcal/mol})$ | بار الکتریکی (e) | جرم مولکولی (gr/mol) |
|---------|------------------------------|--|------------------|----------------------|
| O | ۳/۱۵۰۷ | ۰/۲۷۴۰ | -۰/۷۹۸۲ | ۱۵/۹۹۹۴ |
| H | ۱/۰۹۸ | ۰/۱۳۰ | ۰/۳۹۹۱ | ۱/۰۰۷۹ |
| نوع | طول پیوند / زاویه خمش / مرجع | ثابت / کشش / اخمش | ضریب ثابت C | ضریب ثابت D |
| O-H | $R_{\text{O}}=0.۹۷۰$ | $K_{\text{str}}=56۳/۲۸ \text{ (kcal/mol\text{\AA}^2)}$ | -۱۴۲۸/۲۲ | ۱۹۰۲/۱۲ |
| H-O-H | $\Theta_0=103/۷۰$ | $K_{\text{bend}}=49/۸۴ \text{ (kcal/mol)}$ | -۱۱/۶۰ | -۸/۰۰ |

۲-۲ قوانین اختلاط

قوانین اختلاط لورنز-برلتون^۷ مطابق روابط (۶-۷) یک ابزار آسان برای محاسبه پارامترهای تداخلی χ فراهم می‌کند تا بتوان غیریکنواختی بین مناطق برهمنکنش اتمی مولکول‌های مختلف را در نظر گرفت [۱۹، ۳].

$$\epsilon_{ij} = \sqrt{\epsilon_{ii}\epsilon_{jj}} \quad (6)$$

$$\sigma_{ij} = \frac{1}{2} (\sigma_{ii} + \sigma_{jj}) \quad (7)$$

عبارت تداخلی انرژی بر اساس میانگین هندسی و عبارت تداخلی پارامتر اندازه بر اساس میانگین قطر مناطق برهمنکنشی است.

نتایج حاصل از شبیه‌سازی و داده‌های آزمایشگاهی وجود داشته باشد. گستردگی مدل‌های برهمنکنش برای آب خود تأثیر گذاشته این مهم است که نیاز به یک میدان نیرو مناسب برای پیش‌بینی خواص حرارتی نانوسیال‌ها با سیال پایه آن احساس می‌شود. علاوه بررسی مطالعات شبیه‌سازی درزمنه برهمنکنش رسانای گرمایی نانوسیال‌ها نشان می‌دهد که نانوذره میان نسبت به سایرین بیشتر موردو توجه است و کمتر به نانوذرات نقره، پلاتین و طلا پرداخته شده است. نکته قابل توجه دیگر رفتار حرکتی نانوسیال در داخل یک نانوکانال است که می‌تواند خواص گرمایی آن‌ها را تحت تأثیر قرار دهد که بررسی مطالعات نشان می‌دهد کمتر این مهم در نظر گرفته شده است؛ بنابراین در این مطالعه به بررسی رفتار رسانای گرمایی نانوسیال‌ها با سیال پایه آب در داخل نانوکانال توسط روش دینامیک مولکولی غیرتعادلی پرداخته می‌شود و پارامترهایی نظیر جنس، توانایی و سرعت نفوذ نانوسیال و همچنین خواص ترموفیزیکی در نانوکانال را محاسبه و بررسی می‌شود.

۲- روش شبیه‌سازی دینامیک مولکولی

در روش دینامیک مولکولی تغییرات سیستم با انتگرال‌گیری از معادلات حرکت به دست می‌آید. ابتدا مکان اولیه ذرات بر اساس یک مدل پیکربندی اولیه تعیین و توزیع سرعت تعادلی ذرات از رابطه توزیع ماکسول-بولتزمن^۱ مطابق رابطه (۱) مشخص می‌شود [۱۲].

$$p(v_{\alpha,i}) = \left(\frac{m_i}{2\pi k_B T} \right)^{\frac{1}{2}} \exp \left(-\frac{m_i v_{\alpha,i}^2}{2 k_B T} \right) \quad \alpha = x, y, z \quad (1)$$

پس از تعیین شرایط اولیه، نیروهای بین‌مولکولی و درون‌مولکولی محاسبه و از معادلات حرکت انتگرال‌گیری شده و مکان و سرعت جدید اتم‌ها به کمک الگوریتم ورلت^۲ به دست می‌آید. این حلقه مدام تکرار می‌شود تا درنهایت سیستم به تعادل می‌رسد.

۱-۲ تابع پتانسیل همکنش

در شبیه‌سازی‌های رایانه‌ای نیروهای بین‌مولکولی و درون‌مولکولی به صورت مجموعه‌ای از معادله‌های ریاضی بیان می‌شوند و اهمیت بسیاری در دقت و صحت نتایج شبیه‌سازی‌ها دارند. درنتیجه مسئله اصلی یافتن برهمنکنش بین اتم‌ها و نیروهای مؤثر بر آن‌ها در هلخده از زمان است. انتخاب یک پتانسیل بین‌اتمی، یعنی شیوه برهمنکنش اتم‌ها به طور یقین و رویدی اصلی برای توسعه یک مدل اتمی است؛ بنابراین انرژی پتانسیل کل سیستم مولکولی مجموع انرژی‌های بین‌مولکولی و درون‌مولکولی می‌باشد.

در این تحقیق چهار میدان پتانسیل شامل دو انرژی پتانسیل بین‌مولکولی (وان دروالسی^۳ و الکترواستاتیکی) و دو انرژی پتانسیل درون‌مولکولی (کشش پیوندی^۴ و خم شیوه پیوندی^۵) برای کل سیستم مولکولی در نظر گرفته شده است.

با توجه به آنکه آب به عنوان سیال پایه در این مطالعه در نظر گرفته شده است، بررسی‌ها نشان می‌دهد که به دلیل اهمیت بررسی

¹ Maxwell-Boltzmann

² Verlet

³ Van der Waals

⁴ Bond Stretching

⁵ Bond Bending

⁶ Lennard-Jones

⁷ Lorentz-Berthlot

۳- روش اجرا و نتایج

در این مطالعه برای انجام تمامی محاسبات از کد منبع باز LAMPS^۱ استفاده شده است؛ که ابتدا با نوشتن کد برنامه‌نویسی اطلاعات موردنیاز^۲ لمپس استخراج و سپس با نوشتن کدهای ورودی^۳ لمپس، توانی موردنیاز را از برنامه مرجع فراخوانی می‌کنیم.

۳-۱- محاسبه ضریب رسانای گرمایی نانوسيالها

برای برسی و محاسبه رسانای گرمایی از دو روش دینامیک مولکولی تعادلی و غیرتعادلی استفاده می‌شود که در روش تعادلی از رابطه‌ی گرین-کوبو به صورت روابط [۸، ۹] استفاده می‌گردد [۲۰-۲۲].

$$K = \frac{1}{3VKB T^2} \int_0^{\infty} \langle J_q(0) J_q(t) \rangle dt \quad (8)$$

$$J_q = \frac{d}{dt} \sum_{i=1}^N r_i E_i \quad (9)$$

در رابطه‌ی گرین-کوبو باید ازتابع شار گرمایی انتگرال گرفته شود و این حجم معادلات دیفرانسیلی رو که در هر گام زمانی باید حل شود تا حالت دقیق سیستم به دست آید را افزایش می‌دهد؛ که در هر مرحله از شبیه‌سازی دینامیک مولکولی برای هر اتم در هر گام زمانی ۶ معادله دیفرانسیل، سه تابع مکانی و سه تابع برای تکانه حل می‌شود.

در دینامیک مولکولی غیرتعادلی برای محاسبه رسانای گرمایی از قانون فوریه استفاده می‌شود؛ که استراتژی این روش به این صورت است که در وضعیت تعادلی سیستم با ایجاد یک شار گرمایی در دیواره‌ها اختلال ایجاد که با تعیینه‌ی دو ناحیه‌ی گرم و سرد در دیواره‌ها این کار انجام می‌شود و سپس تغییرات دما را نسبت به مکان محاسبه و رسانای گرمایی را مطابق رابطه (۱۰) به دست می‌آید [۹، ۱۰].

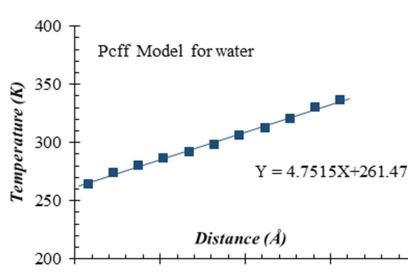
$$K = \frac{Q}{A \frac{dT}{dz}} \quad (10)$$

که در این پژوهش ما از مدل دوم برای محاسبه رسانای گرمایی بهره برده‌ایم. برای انجام شبیه‌سازی و محاسبه رسانای گرمایی نانوسيال روند زیر انجام شده است.

۱- ساختن جعبه شبیه‌سازی

۲- کمینه کردن انرژی جعبه شبیه‌سازی

۳- تعادل دمای جعبه شبیه‌سازی: تمامی محاسبات انجام شده در دمای ۲۹۸ انجام می‌شود که برای این منظور جعبه شبیه‌سازی توسط هنگرد^۴ NVT به مدت ۱۰ ps به تعادل دمایی می‌رسد که برای ثابت نگهداشتن آن از ترمومترات نوس-هور^۵ استفاده می‌شود [۲۳]. این ترمومترات از نوع مقیاس بندی سرعت بوده و در هر مرحله با مقیاس بندی سرعت‌ها و دمای لحظه‌ای که بر اساس تئوری انرژی جنبشی مدل می‌شود، دمای سیستم را ثابت نگه می‌دارد؛ بنابراین می‌توانیم دمای سیستم را از روابط (۱۱، ۱۲) به دست آوریم.



شکل ۱- نمودار توزیع دمای آب در نانوکانال با میدان‌های نیرو Peff

همان‌طوری که نتایج در شکل ۱ نشان می‌دهد توزیع دما یک‌روند کاملاً خطی به خود گرفته است که این نشان‌دهنده این است که تعداد مولکول‌ها و زمان محاسبات در نظر گرفته شده برای محاسبه رسانای گرمایی آب بسیار مناسب بوده است. مقدار ضریب هدایت حرارتی محاسبه شده برای آب خالص 0.53 W/m.K است که تقریباً ۱۳ درصد

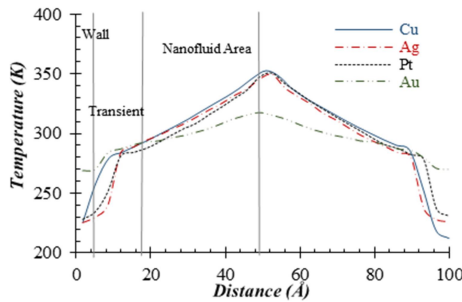
¹ Large-Scale Atomic/Molecular Massively Parallel Simulator (LAMMPS)

² Data File

³ Input File

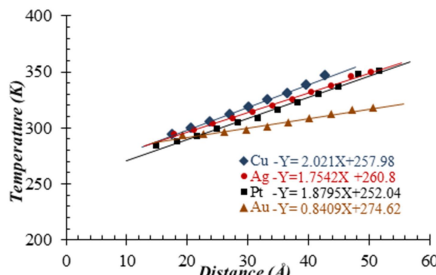
⁴ Ensemble

⁵ Nose-Hoover Thermostat



شکل ۳- توزیع دمای نانوپیال‌ها در راستای عمق نانوکانال

برای محاسبه رسانای گرمایی نانوپیال باید گرادیان دمایی مربوط به بخش نانوپیال را محاسبه و با مشخص بودن مقدار شار گرمایی، رسانای گرمایی به دست می‌آید؛ و از آنجایی که نمودار توزیع دما متقاض است فقط توزیع دما تا مرکز کانال بررسی می‌شود. نمودار توزیع دما برای نانوپیال‌ها مختلف در شکل ۴ نشان داده شده است. همان‌طوری که نتایج نشان می‌دهد توزیع دما برای نانوپیال‌ها بسیار خطی است که این می‌تواند تأثیر کننده روند شبیه‌سازی صحیح باشد. نتایج نشان می‌دهد که نانوپیال مس بیشترین گرادیان دما و نانوپیال طلا کمترین گرادیان دما را به خود اختصاص داده‌اند. با توجه به شبیه‌حال از نمودار دما به دست آمده از شکل ۴ در جدول ۳ مقدار رسانای گرمایی نانوپیال‌ها با توجه به شار گرمایی اعمال شده بر دیواره محاسبه شده است.



شکل ۴- نمودار توزیع دمای نانوپیال‌ها در نانوکانال

همان‌طور که در جدول ۳ مشخص است شار گرمایی اعمال شده بر دیواره برای نانوپیال‌های مختلف متفاوت است، درواقع با توجه به رسانای گرمایی متفاوت نانوپیال باید مقدار شار گرمایی به صورتی انتخاب شود که توزیع دما در بازه ۳۷۳-۲۷۳ کلوین قرار گیرد که آب تغییر فاز ندهد. نتایج مربوط به رسانای گرمایی نانوپیال‌ها نشان می‌دهد نانوپیال نقره بیشترین و سپس به ترتیب طلا، پلاتین و مس بیشترین افزایش رسانای گرمایی نانوپیال را دارند.

جدول ۳- مقادیر رسانای گرمایی نانوپیال‌ها در نانوکانال

| K_{nf}/K_w | رسانای گرمایی (W/m.K) | dT/dZ | شار گرمایی (kcal/mol.fs.Å ²) | نانوذره |
|--------------|-----------------------|---------|--|---------|
| ۱/۲۶ | ۰/۶۶۷ | ۲/۰۴۸ | $1/967 \times 10^{-5}$ | Cu |
| ۱/۵۰ | ۰/۷۹۸ | ۱/۷۵۴ | $2/0.56 \times 10^{-5}$ | Ag |
| ۱/۴۰ | ۰/۷۴۲ | ۰/۸۴۱ | $1/19.0 \times 10^{-5}$ | Au |
| ۱/۳۱ | ۰/۶۹۸ | ۱/۸۷۹ | $1/887 \times 10^{-5}$ | Pt |

در جدول ۴ میزان افزایش ضریب حرارتی نانوپیال‌های مختلف با نتایج مطالعات آزمایشگاهی مقایسه شده است؛ که می‌توان گفت نتایج

با مقدار آزمایشگاهی ارائه شده توسط رامیر و همکاران [۸] در دمای K ۲۹۸ با مقدار به دست آمده 0.61 W/m.K اختلاف دارد.

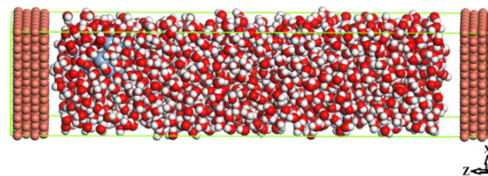
برای بررسی تأثیر جنس نانوذره فلزی بر خواص ضریب هدایت گرمایی نانوپیال‌ها باید برهmeknesh‌های بین نانوذرات فلزی و همچنین برهmeknesh آن‌ها را با آب و دیواره را در نظر گرفت و از آنجایی که میدان نیرو Peff رسانای گرمایی آب را به عنوان سیال پایه خوب پیش‌بینی نموده است و برای ذرات فلزی هم این میدان نیرو می‌تواند برهmeknesh‌های بین آن‌ها را پیش‌بینی کند؛ بنابراین برای برهmeknesh بین مولکول‌های آب-آب، نانوذره-نانوذره، دیواره-آب، دیواره-نانوذره و همچنین نانوذره-آب از میدان نیرو Peff استفاده شده است. در جدول ۲ مشخصات مربوط به نانوذره و ضرایب تابع برهmeknesh آن‌ها مشخص شده است.

جدول ۲- مشخصات و ضرایب تابع برهmeknesh نانوذرات

| $\sigma(\text{\AA})$ | $\epsilon(\text{kcal/mol})$ | جرم مولکولی (gr/mol) | شعاع (nm) | تعداد اتم | نانوذره |
|----------------------|-----------------------------|----------------------|-----------|-----------|---------|
| ۲/۶۷۷۵ | ۳/۸۱۸۷ | ۶۳/۵۴۶۰ | ۰/۵ | ۴۳ | Cu |
| ۳/۰۲۲۲ | ۴/۱۰۰۲ | ۱۰۷/۸۶۸۰ | ۰/۵ | ۳۸ | Ag |
| ۳/۰۱۷۷ | ۶/۰۹۸۰ | ۱۹۶/۹۶۷۰ | ۰/۵ | ۴۳ | Au |
| ۲/۹۰۳۴ | ۹/۱۴۴۷ | ۱۹۵/۰۸۴۰ | ۰/۵ | ۴۳ | Pt |

برای در نظر گرفتن ضرایب مربوط به برهmeknesh‌های غیر پیوندی نانوذرات با مولکول‌های آب، نانوذرات با دیواره و آب با دیواره از قوانین اختلاط مطابق روابط (۶،۷) استفاده می‌شود که مقادیر پارامترهای لنارد-جونز مربوط به مولکول آب با میدان Peff در جدول ۱ موجود است.

برای ساختن نانوپیال با درصد حجمی دو درصد از نانوذرات فلزی با شعاع پنج آنگستروم با ساختار کریستالی FCC به همراه ۱۲۰۰ مولکول آب استفاده شده است. جعبه شبیه‌سازی مطابق شکل شماره ۲ شامل دو دیواره ۴ لایه‌ای از مس با ابعاد $21/69 \times 21/69 \times 21/69$ آنگستروم مربع با ساختار FCC است که به همراه نانوپیال اندازه ۱۰۰ آنگستروم در جهت z را تشکیل می‌دهند.



شکل ۲- تصویری از جریان مولکول‌های نانوپیال در نانوکانال مسی برای محاسبه رسانای گرمایی نانوپیال‌های مختلف درون نانوکانال مسی، پس از انجام شبیه‌سازی دینامیک مولکولی در دمای K ۲۹۸، در ابتدا توزیع دما در راستای عمق کانال مربوط به نانوپیال‌ها را مشخص و ترسیم نموده که در شکل ۳ قابل مشاهده است.

همخوانی قابل قبولی با نتایج آزمایشگاهی موجود دارند. باید در نظر داشت که مقدار رسانای گرمایی تحت تأثیر اندازه نانوذره نیز می باشد و از آنجایی که هر چه اندازه نانوذره کمتر باشد سطح تماس آن بیشتر است، انتظار می رود به دلیل اندازه ۵ آنگستروم شعاع ذرات در نظر گرفته شده در این تحقیق مقادیر افزایش رسانای گرمایی نانوپیلها نسبتاً بیشتر از مطالعات آزمایشگاهی موجود باشد.

جدول ۴- مقایسه افزایش رسانای گرمایی نانوپیلها با نتایج

آزمایشگاهی

| مرجع | درصد افزایش رسانای گرمایی | درصد نانوذره | نانوذره | سیال پایه | ردیف |
|------------|------------------------------|-----------------|---------|--------------|------|
| [۲۴] | ۳۵ | ۱ | نقره | آب | ۱ |
| [۲۵] | ۱۱ | ۰/۴ | نقره | آب | ۲ |
| این مطالعه | ۵۰ | ۲ | نقره | آب | ۳ |
| [۲۶] | ۲۰ | ۳/۵ | پلاتین | آب | ۴ |
| این مطالعه | ۳۱ | ۲ | پلاتین | آب | ۵ |
| [۲۸, ۲۷] | ۲۴-۴ | ۲-۰/۱ | مس | آب | ۶ |
| این مطالعه | ۲۶ | ۲ | مس | آب | ۷ |

با در نظر گرفتن این نکته که اندازه و غلظت تمامی نانوپیلها یکسان است می توان گفت که رسانای گرمایی نانوپیلها تحت تأثیر جنس نانوذره و برهمکنش آن با آب است. هر چه مولکولهای آب به نانوذره نزدیکتر شوند و به هم تمایل بیشتر داشته باشند انتقال حرارت از آب به نانوذره و بلعکس بیشتر خواهد بود. برای بررسی برهمکنش و تمایل بین آب و نانوذره از آنالیز تابع توزیع شعاعی (RDF) استفاده می گردد.

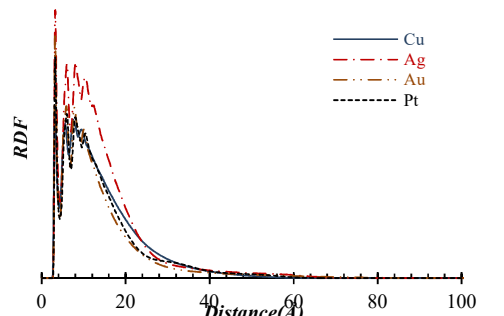
۲-۳- تابع توزیع شعاعی^۱

برای مشخص نمودن توزیع فواصل بین دو نوع آتم α و β از تابع توزیع شعاعی استفاده می شود که بر اساس مکانیک آماری رابطه ریاضی آن به صورت رابطه (۱۳) است.

$$g_{\alpha\beta}(r) = \frac{N}{\rho N_\alpha N_\beta} \sum_{i=1}^{N_\alpha} \sum_{k=1}^{N_\beta} \delta(r - |r_k - r_i|) \quad (13)$$

درواقع تابع توزیع شعاعی تمایل بین اتمها برای قرار گرفتن در کنار یکدیگر را مشخص می کند. چنانچه مولکولهایی به یکدیگر نزدیک شوند شدت پیک RDF بیشتر و درصورتی که از هم فاصله بگیرند از شدت پیکهای نمودار RDF کاسته می شود؛ تابع توزیع شعاعی آب-نانوذره برای نانوپیلها مختلف در شکل ۵ ترسیم شده است.

همان طوری که نتایج نشان می دهد اولین پیک نمودار در فاصله ۳/۲۵ آنگستروم برای تمامی نانوپیلها قرار دارد که بدین معنی است که حداقل فاصله بین مولکولهای آب و سطح نانوذرات ۳/۲۵ آنگستروم است. در این فاصله بزرگترین پیک مربوط به نانوپیل نقره و سپس به ترتیب طلا، پلاتین و مس می باشد؛ بنابراین می توان بیان کرد که تمایل مولکولهای آب برای قرار گرفتن در کنار نانوذرات نقره نسبت به سایرین بیشتر است و همین امر باعث می شود سطح تماس آب با



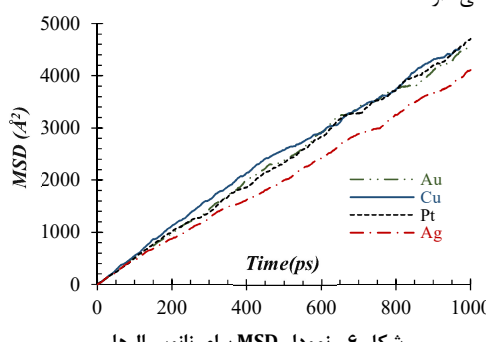
شکل ۵- نمودار تابع توزیع شعاعی برای نانوپیلها

۳-۳- محاسبه ضریب نفوذ نانوپیل

ضریب نفوذ پارامتری است که توانایی و سرعت نفوذ نانوپیل را درون نانوکاتال را بیان می کند که با سرعت متوسط نانوپیل رابطه مستقیم دارد. با استفاده از موقعیت مولکولهای نانوپیل در زمان های مختلف و با استفاده از مکانیک آماری ضریب نفوذ محاسبه می شود. برای این منظور از نمودار میانگین مربعات جابجایی^۲ (MSD) مولکولهای نانوپیل در مقابل زمان استفاده و ضریب نفوذ نانوپیل در نانوکاتال مطابق رابطه (۱۴) محاسبه می گردد.

$$DI = \lim_{t \rightarrow \infty} \sum_{i=1}^N \Delta r_i^2(t) \quad (14)$$

نمودار MSD بر حسب زمان برای نانوپیلها مختلف در شکل ۶ ترسیم شده است. همان طوری که شکل ۶ نشان می دهد تقریباً تغییرات MSD برای سه نانوپیل پلاتین، طلا و مس تقریباً یکسان است و فقط نانوپیل نقره مقدار جابجایی کمتری نسبت به سایرین دارد. از آنجایی که در اینجا اندازه نانو ذرات یکسان است می توان بیان کرد که ضریب نفوذ نانوپیل به برهمکنش و تمایل آن با مولکولهای آب بستگی دارد.



شکل ۶- نمودار MSD برای نانوپیلها

در جدول ۵ مقدار ضریب نفوذ نانوپیلها محاسبه شده است. ضریب نفوذ نانوپیل نقره با توجه به نتایج RDF مربوط به نانوذره و مولکولهای آب می توان بیان کرد که اطراف نانوذره نقره نسبت به آب بیشتری نسبت به سایر نانوذرات در برگرفته است و درواقع جذب

² Mean square displacement

¹ Radial Distribution Function(RDF)

[۱۰] تقریباً ۲۳ درصد خطا وجود دارد. مطالعات شبیه‌سازی دینامیک مولکولی مربوط به گرمایی ویژه در فشار ثابت مقدار خطا حاصل از محاسبات را برای مدل‌های برهمکنش آب تا ۴۱ درصد نیز گزارش کرده‌اند [۱۰]. نتایج مطابق جدول ۶ نشان می‌دهند که با افزایش نانوذره به آب مقدار گرمایی ویژه در فشار ثابت کاهش می‌یابد [۳۲-۲۹] که مقدار آن به جنس نانوذره بستگی دارد که کمترین کاهش گرمایی ویژه در فشار ثابت مربوط به نانوذره مس و بیشترین کاهش را نانوذره پلاتین برای آب به همراه داشته است.

جدول ۶- مقادیر آنتالپی و گرمایی ویژه در فشار و حجم ثابت

| C_V (kj.kg ⁻¹ .K ⁻¹) | C_p (kj.kg ⁻¹ .K ⁻¹) | (kj.kg ⁻¹) | آنتالپی | سیال / نانوسيال |
|--|--|------------------------|---------|-----------------|
| ۴/۵۴۵ | ۵/۱۴۳ | -۱۲۴۹/۷۰۹ | | آب |
| ۴/۰۵۹ | ۴/۶۷۱ | -۱۲۶۴/۷۹۳ | | Cu |
| ۳/۹۰۵ | ۴/۴۲۲ | -۱۱۹۷/۰۶۰ | | Ag |
| ۳/۲۲۳ | ۳/۷۹۲ | -۱۱۱۰/۷۵۶ | | Au |
| ۳/۳۰۸ | ۳/۷۶۳ | -۱۲۱۱.۳۲۷ | | Pt |

برای محاسبه گرمایی ویژه در حجم ثابت از انرژی پتانسیل سیستم توسط رابطه (۱۷) استفاده می‌شود [۱۰]:

$$C_V = \frac{1}{M} \left. \frac{\partial E_c}{\partial T} \right|_V \quad (17)$$

برای محاسبه گرمایی ویژه در حجم ثابت باید مقدار انرژی پتانسیل را در دماهای مختلف در حجم ثابت بازه دمای K ترسیم مقدار انرژی پتانسیل بر حسب دما مقدار شیب خط حاصله یعنی گرمایی ویژه در حجم ثابت را به دست آورده؛ بنابراین در بازه دمای ۲۸۳-۳۳۳ مقدار انرژی پتانسیل در انسembil NVT و روش دینامیک مولکولی تعادلی با استفاده از چگالی تعادلی نانوسيالها محاسبه شده است. در شکل ۸ نمودار انرژی پتانسیل بر حسب دما در حجم ثابت ترسیم شده است. گرمایی ویژه در حجم ثابت برای آب در دمای K ۲۹۸ و فشار ۱ atm با استفاده از میدان نیرو pcff مقدار $4/545 \text{ kJ kg}^{-1} \text{ K}^{-1}$ به دست آمده است که نسبت به مقدار آزمایشگاهی [۱۰] تقریباً ۹ درصد خطا وجود دارد. مطالعات شبیه‌سازی دینامیک مولکولی مربوط به گرمایی ویژه در حجم ثابت مقدار خطا حاصل از محاسبات را برای مدل‌های برهمکنش آب تا ۵۷ درصد نیز گزارش کرده‌اند [۱۰]. نتایج مطابق جدول ۶ نشان می‌دهند که با افزایش نانوذره به آب مقدار گرمایی ویژه در حجم ثابت کاهش می‌یابد که مقدار آن به جنس نانوذره بستگی دارد که کمترین کاهش گرمایی ویژه در حجم ثابت مربوط به نانوذره مس و بیشترین کاهش را نانوذره پلاتین برای آب به همراه داشته است.

سطحی شده است بنابراین حرکت کننتری نسبت به سایر نانوسيالها دارد و ضریب نفوذ آن کمتر می‌شود.

جدول ۵- مقادیر ضریب نفوذ نانوسيالها

| ضریب نفوذ نانوسيال ($\times 10^{-5} \text{ m}^2/\text{s}$) | نانوذره | ردیف |
|---|---------|------|
| ۸/۱۰۰ | Cu | ۱ |
| ۷/۸۱۱ | Ag | ۲ |
| ۸/۲۶۳ | Au | ۳ |
| ۸/۷۳۶ | Pt | ۴ |

۴-۳- خواص ترمومیزیکی نانوسيالها

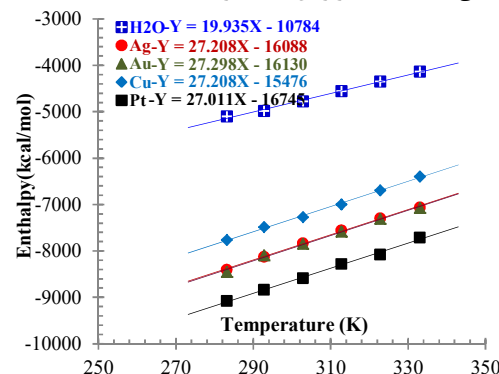
برای محاسبه گرمایی ویژه از آنتالپی سیستم استفاده می‌شود که مقدار آنتالپی از حاصل جمع انرژی جنبشی و داخلی به همراه حاصل ضرب حجم در فشار مطابق رابطه (۱۵) به دست می‌آید [۱۰]:

$$H = E_e + PV = K_e + P_e + PV \quad (15)$$

بنابراین برای محاسبه آنتالپی نانوسيالها از انسembil NPT با گام زمانی fs با تعداد مراحل یک‌میلیون و روش دینامیک مولکولی تعادلی استفاده شده است. در تمامی محاسبات دمای K ۲۹۸ و فشار ۱ atm در نظر گرفته شده است که اندازه نانوذرات ۵ آنگستروم و مشخصات جعبه شبیه‌سازی از نظر ابعاد و تعداد مولکول‌های آب دقیقاً مانند قبیل است. مقادیر آنتالپی محاسبه شده از شبیه‌سازی دینامیک مولکولی تعادلی برای آب مقدار $4/545 \text{ kJ kg}^{-1} ۱۲۴۹/۷۰۹$ به دست می‌آید. برای محاسبه گرمایی ویژه در فشار ثابت از آنتالپی سیستم توسط رابطه (۱۶) استفاده می‌شود [۱۰]:

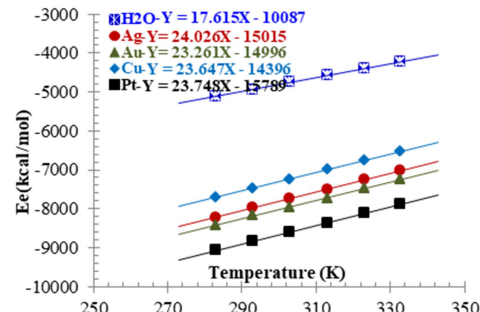
$$C_p = \frac{1}{M} \left. \frac{\partial H}{\partial T} \right|_P \quad (16)$$

بنابراین برای محاسبه گرمایی ویژه در فشار ثابت باید مقدار آنتالپی را در دماهای مختلف در فشار ثابت را محاسبه نمود و از ترسیم آنتالپی بر حسب دما مقدار شیب خط حاصله یعنی گرمایی ویژه در فشار ثابت را به دست آورده؛ بنابراین در بازه دمای K ۳۳۳-۲۸۳ مقدار آنتالپی در انسembil NPT و روش دینامیک مولکولی تعادلی در فشار ۱ atm محاسبه شده است. در شکل ۷ نمودار آنتالپی بر حسب دما در فشار ثابت ترسیم شده است. نتایج نشان می‌دهد که تغییرات آنتالپی با دما خطی است که نشانگر زمان شبیه‌سازی مناسب است.



شکل ۷- نمودار آنتالپی بر حسب دما در فشار ثابت

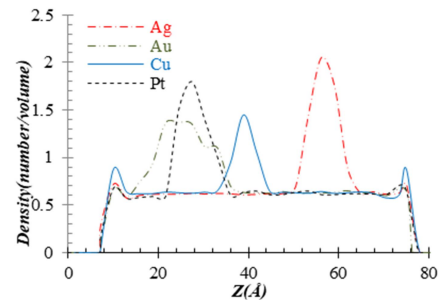
گرمایی ویژه در فشار ثابت برای آب در دمای K ۲۹۸ و فشار یک انسembil با استفاده از میدان نیرو pcff مقدار $4/545 \text{ kJ kg}^{-1} \text{ K}^{-1}$ به دست آمده است که نسبت به مقدار آزمایشگاهی



شکل ۸- نمودار انرژی پتانسیل بر حسب دما در حجم ثابت

۳-۵- توزیع چگالی در نانوکانال

توزیع چگالی اتمها در نانوکانال مس برای نانوپیال طلا، نقره، مس و پلاتین در شکل ۹ ترسیم شده است. همان‌طوری که نتایج نشان می‌دهند که تمایل مولکول‌های آب برای قرار گرفتن در نزدیکی دیواره کانال زیاد است. از آنجایی که جنس دیواره کانال از مس است باید تمایل مولکول‌ها برای قرار گرفتن در نزدیکی نانوذره مسی با دیواره یکسان باشد و همان‌طوری که نتایج توزیع چگالی مربوط به نانو پیال مس نشان می‌دهد این نوع پیک‌هایی که در نمودار تشکیل شده است مشابه می‌باشد. برای سایر نانو پیال‌ها با توجه به نوع نانوذره تعداد مولکول‌های آبی که در نانوذره را در برگرفته است متغیر است. به‌طوری‌که برای نانو پیال نقره بیشترین شدت چگالی گزارش شده است که بدین معنی است تعداد مولکول آب زیادی در اطراف نانوذره نقره در یک ضخامت کم قرار گرفته است. برای نانوذره طلا نتایج نشان می‌دهند که در یک فاصله بیشتری از سطح نانوذره مولکول‌های آب قرار دارند بنابراین می‌توان گفت نانوذره طلا تمایل دارد تعداد مولکول‌های آب بیشتری را با خود همراه کند و ضخامت لایه آب تشکیل شده در کنار این نانوذره از سایرین بیشتر است.



شکل ۹- نمودار توزیع چگالی اتم‌های نانوپیال‌ها در نانوکانال

۳-۶- لزجت

برای محاسبه لزجت به‌طورکلی از دو روش دینامیک مولکولی تعادلی [۱، ۳] و دینامیک مولکولی غیرتعادلی [۱۰، ۳۳] استفاده شده است. در روش دینامیک مولکولی تعادلی از روابط گرین-کوبو به صورت روابط [۱۹، ۱۸] استفاده می‌شود [۲۲، ۳]:

$$\eta_{x,y} = \frac{V}{K_B T} \int_0^{\infty} \langle P_{x,y}(0) P_{x,y}(t) \rangle dt \quad (18)$$

$$P_{x,y} = \sum_j^N m_j v_{xj} v_{yj} + \frac{1}{2} \sum_{i \neq j}^N r_{xij} F_{yij} \quad (19)$$

به صورت شکل ۱۱ ترسیم نمود.

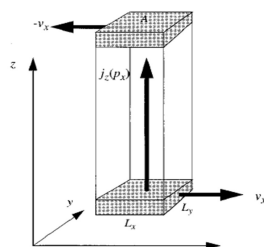
برای محاسبه لزجت، از روش دینامیک مولکولی تعادلی با استفاده از انسمبل NVT در دمای K ۲۹۸ و میدان نیرو pcf و با در نظر گرفتن شرایط مرزی متناوب، شاعع قطع A ۱۲.۵ و روش جمع اولد برای برهمکنش‌های بلند برد محاسبات انجام شده است. با استفاده از این روش مقدار لزجت آب 2.37×10^{-4} Pa.s به دست آمده است که با مقادیر تجربی Pa.s $[10.8 / 9.0 \times 10^{-4}]$ اختلاف دارد. در مطالعات قبلی نیز ۲۰ درصد خطأ را گزارش کرده‌اند [۱۰].

در جدول ۷ لزجت آب و نانوپیال‌های مختلف توسط روش دینامیک مولکولی تعادلی محاسبه شده است. نتایج نشان می‌دهند که با افزایش نانوذره به سیال آب لزجت آن افزایش پیدا کرده است به‌طوری‌که بیش تأثیر را نانوذره طلا و کمترین اثر را نانوذره مس بر خواص لزجت آب گذاشته است. بررسی مطالعات قبلی نیز نشان می‌دهد که با اضافه کردن نانوذره به آب لزجت آن افزایش پیدا می‌کند [۲۴].

جدول ۷- مقادیر لزجت به روش دینامیک مولکولی تعادلی

| μ_{NF}/μ_w | lezget ($\text{Pa.s} \times 10^{-4}$) | پیال/نانوپیال |
|------------------|---|---------------|
| ۱ | ۲.۳۷ | آب |
| ۱.۱۸ | ۲.۸۰ | Ag |
| ۱.۲۲ | ۲.۸۷ | Au |
| ۱.۰۴ | ۲.۴۷ | Cu |
| ۱.۲۱ | ۲.۸۶ | Pt |

در روش دینامیک مولکولی غیرتعادلی در راستای Z جعبه شبیه‌سازی دو ناحیه در بالا و پایین جعبه مطابق شکل ۱۰ در نظر گرفته می‌شود که با یک سرعت ثابت در راستای X اما در جهات X و Y مخالف کشیده می‌شود. سپس مقدار شار مومنتوم و توزیع سرعت در راستای Z تعیین می‌شود که از تقسیم شار مومنتوم بر توزیع سرعت، لزجت مطابق رابطه (۲۰) محاسبه می‌شود [۲۵، ۱۰].



شکل ۱۰- محاسبه لزجت به روش دینامیک مولکولی غیرتعادلی

درواقع شار مومنتوم از تقسیم زمان و سطح مقطع (A) در راستای X و Y برشار کل طبق رابطه (۲۱) تعیین می‌شود که عدد ۲ در رابطه فوق به خاطر شرایط مرزی متناوب در سیستم است [۳۵]:

$$j(P_x) = -\mu \frac{\partial V_x}{\partial Z} \quad (20)$$

$$j(P_x) = \frac{P_x}{2tA} \quad (21)$$

بنابراین مقدار لزجت آب با استفاده از روش دینامیک مولکولی غیرتعادلی $Pa.s^{-1} / 1.89 \times 10^{-4}$ به دست می‌آید که خطای بیشتری نسبت به روش گرین-کوبو دارد. با استفاده از روش دینامیک مولکولی غیرتعادلی می‌توان به ازای شار مومنتوم نمودار توزیع سرعت آب در راستای کانال به صورت شکل ۱۱ ترسیم نمود.

نانوذره به آب مقدار گرمایی ویژه در فشار ثابت و حجم ثابت کاهش می‌یابد؛ که مقدار آن به جنس نانوذره بستگی دارد که کمترین کاهش گرمایی ویژه در مربوط به نانوذره مس و بیشترین کاهش را نانوذره پلاتین برای آب به همراه داشته است.

در بررسی نمودار توزیع چگالی اتمها، نتایج نشان داد که تعداد مولکول آب زیادی در اطراف نانوذره نقره در یک ضخامت کم قرار گرفته که بیشترین شدت چگالی را دارد؛ و با توجه به آنکه نانوذره طلا تعداد مولکول‌های آب بیشتری را با خود همراه می‌کند، ضخامت لایه آب تشکیل شده در کنار این نانوذره از سایرین بیشتر است.

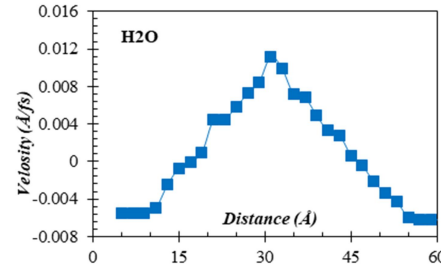
برای محاسبه لزجت نانوسيال‌ها از دو روش ديناميک مولکولي تعادلي با استفاده از روابط گرين-کوبو و ديناميک مولکولي غير تعادلي استفاده گردید، نتایج نشان داد درروش ديناميک مولکولي تعادلي که خطاي كمتری نسبت به ديناميک مولکولي غير تعادلي دارد، لزجت نانوسيال‌ها به دست آمده با افزایش نانوذره به سیال آب افزایش پیدا کرده است به طوری که بیشترین تأثیر را نانوذره طلا و کمترین اثر را نانوذره مس بر خواص لزجت آب گذاشته است.

۵-نمادها

| | |
|---|--|
| سطح مقطع انتقال گرما (\AA) | A |
| نانوذره نقره | Ag |
| نانوذره طلا | Au |
| نانوذره مس | Cu |
| ضریب نفوذ (m^2s^{-1}) | DI |
| مجموع انرژی جنبشی و پتانسیل ($\text{kcal}\cdot\text{mol}^{-1}$) | E _i |
| شار گرمایی ($\text{kcal}\cdot\text{mol}^{-1}\text{\AA}^2$) | J _q |
| رسانای گرمایی ($\text{Wm}^{-1}\text{K}^{-1}$) | K |
| ثابت بولتزمن | k _B |
| انرژی جنبشی ($\text{kcal}\cdot\text{mol}^{-1}$) | KE |
| ثابت کشش ($\text{kcal}\cdot\text{mol}^{-1}\text{\AA}^2$) | k _{str} |
| ثابت خمسه ($\text{kcal}\cdot\text{mol}^{-1}$) | k _{bend} |
| تعداد اتم‌های جزء α و β | N _{α,β} |
| نانوذره پلاتین | Pt |
| بار جزئی (e) | q _{ij} |
| فاصله بین اتم‌ها (\AA) | r |
| شعاع قطع (\AA) | r _c |
| انرژی پتانسیل ($\text{kcal}\cdot\text{mol}^{-1}$) | U |
| ثابت گذردهی الکترویکی خلا | ε ₀ |
| عمق چاه پتانسیلی ($\text{kcal}\cdot\text{mol}^{-1}$) | ε _{ij} |
| مقدار $u(r=0)$ پتانسیل لنارد-جونز (\AA) | σ _{ij} |
| لزجت | η _{x,y} |

۶-مراجع

- [1] Bushehri M., Mohebbi A. and Rafsanjani H., Prediction of thermal conductivity and viscosity of nanofluids by molecular dynamics simulation. *Journal of Engineering Thermophysics*, vol. 25, pp. 389-400, 2016.
- [2] Navas J., Sánchez-Coronilla A., Martín E.I., Teruel M., Gallardo J.J., Aguilar T., Gomez-Villarejo R., Alcántara R., Fernández-Lorenzo C. and Piñero J.C., On the enhancement of heat transfer fluid for concentrating solar power using Cu



شکل ۱۱- نمودار توزیع سرعت آب در راستای کanal برای آب در جدول ۸ مقادیر گرادیان سرعت به همراه شار مومنتوم به دست آمده درروش دینامیک مولکولی غیر تعادلی برای آب و سایر نانوسيال‌ها مشخص شده است.

جدول ۸- مقادیر لزجت به روش دینامیک مولکولی غیر تعادلی

| $\mu_{\text{NF}}/\mu_{\text{w}}$ | لزجت ($\text{Pa.s} \times 10^{-4}$) | فلaks مومنتوم ($\text{Pa} \times 10^{-22}$) | گرادیان سرعت ($\text{f}^{\text{1}}\text{s}^{-1} \times 10^{-3}$) | سطح مقطع (\AA^2) | سیال / نانوسيال |
|----------------------------------|---------------------------------------|---|--|-----------------------------|-----------------|
| ۱ | ۱/۸۹ | ۱/۸۹ | ۱ | ۹۰۰ | آب |
| ۱/۴۸ | ۲/۸ | ۱/۴ | ۰/۵ | ۱۷۳۷/۵ | Ag |
| ۱/۵۸ | ۳ | ۱/۵ | ۰/۵ | ۱۸۰۰ | Au |
| ۱/۶۶ | ۲/۵ | ۱/۵ | ۰/۶ | ۱۶۹۵/۲ | Cu |
| ۱/۶۶ | ۲/۵ | ۱/۵ | ۰/۶ | ۱۶۷۶/۵ | Pt |

۴-جمع‌بندی و نتیجه‌گیری

در این تحقیق تأثیر جنس نانوذره فلزی بر رسانای گرمایی نانوسيال نقره، طلا، پلاتین و مس با سیال پایه آب درون یک نانوکانال مسی با روش دینامیک مولکولی غیر تعادلی مورد بررسی قرار گرفت. با اعمال شار گرمایی مختلف بر دیواره برای هر کدام از نانوسيال‌ها گرادیان دماها به دست آمد. نتایج نشان داد که نانوسيال مس بیشترین گرادیان دما و نانوسيال طلا کمترین گرادیان دما را به خود اختصاص داده‌اند. درنتیجه اعمال شار گرمایی و به دست آمدن گرادیان دماها و با استفاده از قانون فوريه ضریب هدایت حرارتی نانوسيال‌ها محاسبه گردید که نقره بیشترین و سپس به ترتیب طلا، پلاتین و مس بیشترین افزایش رسانای گرمایی را دارند. با مقایسه نتایج به دست آمده با نتایج آزمایشگاهی به طور نسبی هم‌خوانی قابل قبول وجود دارد که نشان‌دهنده دقیق مناسب شبیه‌سازی‌های انجام گرفته می‌باشد.

برای بررسی برهmekش و تمایل بین آب و نانوذره از آنالیز تابع توزیع شعاعی (RDF) استفاده گردید. نتایج نشان داد که تمایل مولکول‌های آب برای قرار گرفتن در کنار نانوذرات نقره نسبت به سایرین بیشتر است و همین امر باعث می‌شود سطح تماس آب با نانوذره بیشتر گردد و رسانای گرمایی آن بیشتر از سایر نانوذرات باشد. برای بررسی توانایی و سرعت نفوذ نانوسيال را درون نانوکانال، ضریب نفوذ پتانسیل گردید که نتایج نشان داد ضریب نفوذ نانوسيال به برهmekش و تمایل آن با مولکول‌های آب بستگی دارد. با توجه به آنکه اطراف نانوذره نقره مولکول‌های آب بیشتری نسبت به سایر نانوذرات در برگرفته و درواقع جذب سطحی شده است، بنابراین حرکت کنتری نسبت به سایر نانوسيال‌ها دارد و ضریب نفوذ آن کمتر می‌شود.

در ادامه خواص ترموفیزیکی شامل C_p, C_v به روش دینامیک مولکولی تعادلی مورد بررسی قرار گرفت، نتایج نشان داد که با افزایش

- [21] Sarkar S. and Selvam R.P., Molecular dynamics simulation of effective thermal conductivity and study of enhanced thermal transport mechanism in nanofluids. *Journal of applied physics*, vol. 102, pp. 074302, 2007.
- [22] Hyzorek K. and Tretiakov K.V., Thermal conductivity of liquid argon in nanochannels from molecular dynamics simulations. *The Journal of chemical physics*, 144: p. 194507, 2016.
- [23] Chopkar M., Sudarshan S., Das P., and Manna I., Effect of particle size on thermal conductivity of nanofluid. *Metallurgical and Materials Transactions A*, 39: p. 1535-1542, 2008.
- [24] Aberoumand S., Jafarimoghaddam A., Moravej M., Aberoumand H., and Javaherdeh K., Experimental study on the rheological behavior of silver-heat transfer oil nanofluid and suggesting two empirical based correlations for thermal conductivity and viscosity of oil based nanofluids, *Applied Thermal Engineering*, 101: p. 362-372, 2016.
- [25] Colangelo G., Favale E., Miglietta P., Milanese M., and de Risi A., Thermal conductivity, viscosity and stability of Al_2O_3 -diathermic oil nanofluids for solar energy systems. *Energy*, 95: p. 124-136, 2016.
- [26] Sankar N., Mathew N., and Sobhan C., Molecular dynamics modeling of thermal conductivity enhancement in metal nanoparticle suspensions. *International Communications in Heat and Mass Transfer*, vol. 35, pp. 867-872, 2008.
- [27] Philip J. and Shima P., Thermal properties of nanofluids. *Advances in colloid and interface science*, 183: p. 30-45, 2012.
- [28] Yu W., France D.M., Routbort J.L., and Choi S.U., Review and comparison of nanofluid thermal conductivity and heat transfer enhancements. *Heat Transfer Engineering*, 2008, 29: p. 432-460.
- [29] Zhou S. and Ni R., Measurement of the specific heat capacity of water-based Al_2O_3 nanofluid. *Applied Physics Letters*, 92: p. 093123, 2008.
- [30] J.P. Meyer, S.A. Adio, M. Sharifpur, and P.N. Nwosu, The viscosity of nanofluids: a review of the theoretical, empirical, and numerical models. *Heat Transfer Engineering*, 37: p. 387-421, 2016.
- [31] Namburu P.K., Kulkarni D.P., Misra D., and Das D.K., Viscosity of copper oxide nanoparticles dispersed in ethylene glycol and water mixture. *Experimental Thermal and Fluid Science*, 32: p. 397-402, 2007.
- [32] Esfe M.H., Afrand M., Gharehkhani S., Rostamian H., Tohraie D., and Dahari M., An experimental study on viscosity of alumina-engine oil: effects of temperature and nanoparticles concentration. *International Communications in Heat and Mass Transfer*, 76: p. 202-208, 2016.
- [33] Muller-Plathe F., Reversing the perturbation in nonequilibrium molecular dynamics: An easy way to calculate the shear viscosity of fluids. *Physical Review E*, 59(5): pp. 4894, 1999.
- [34] Fu Q., Zhu J., Xue Y., and Cui Z., Size-and shape-dependent melting enthalpy and entropy of nanoparticles. *Journal of Materials Science*, 52: p. 1911-1918, 2017.
- [35] Azmi W., Sharma K., Mamat R., Najafi G., and Mohamad M., The enhancement of effective thermal conductivity and effective dynamic viscosity of nanofluids-a review. *Renewable and Sustainable Energy Reviews*, 53: p. 1046-1058, 2016.
- and Ni nanofluids. *An experimental and molecular dynamics study*, *Nano Energy*, vol. 27, pp. 213-22, 2016.
- [3] Lee S., Saidur R., Sabri M. and Min T., Effects of the particle size and temperature on the efficiency of nanofluids using molecular dynamic simulation, *Numerical Heat Transfer, Part A: Applications*, vol. 69, pp. 996-1013, 2016.
- [4] Frank M., Drikakis D. and Asproulis N., Thermal conductivity of nanofluid in nanochannels. *Microfluidics and nanofluidics*, vol. 19, pp. 1011-1017, 2015.
- [5] Pham A.T., Barisik M. and Kim B., Molecular dynamics simulations of Kapitza length for argon-silicon and water-silicon interfaces. *International journal of precision engineering and manufacturing*, vol. 15, pp. 323-329, 2014.
- [6] Hu C., Bai M., Lv J., Wang P., Zhang L. and Li X., Molecular dynamics simulation of nanofluid's flow behaviors in the near-wall model and main flow model. *Microfluidics and nanofluidics*, vol. 17, pp. 581-589, 2014.
- [7] Zhang M., Lussetti E., de Souza L.E. and Müller-Plathe F., Thermal conductivities of molecular liquids by reverse nonequilibrium molecular dynamics. *The Journal of Physical Chemistry B*, vol. 109, pp. 15060-15067, 2005.
- [8] Ramires M.L., de Castro C.A.N., Nagasaka Y., Nagashima A., Assael M.J. and Wakeham W.A., Standard reference data for the thermal conductivity of water. *Journal of Physical and Chemical Reference Data*, vol. 24, pp. 1377-1381, 1995.
- [9] Bresme F. and Romer F., Heat transport in liquid water at extreme pressures: A non equilibrium molecular dynamics study. *Journal of Molecular Liquids*, vol. 185, pp. 1-7, 2013.
- [10] Mao Y. and Zhang Y., Thermal conductivity, shear viscosity and specific heat of rigid water models. *Chemical Physics Letters*, vol. 542, pp. 37-41, 2012.
- [11] Hu C., Bai M., Lv J. and Li X., An investigation on the flow and heat transfer characteristics of nanofluids by nonequilibrium molecular dynamics simulations. *Numerical Heat Transfer, Part B: Fundamentals*, vol. pp. 1-12, 2016.
- [12] Leach A.R., *Molecular modelling: principles and applications*: Pearson education, 2001.
- [13] Pang J., Yang H., Ma J., and Cheng R., Solvation behaviors of N-isopropylacrylamide in water/methanol mixtures revealed by molecular dynamics simulations. *The Journal of Physical Chemistry B*, vol. 114, pp. 8652-8658, 2010.
- [14] Chen Z., Gu Q., Zou H., Zhao T., and Wang H., Molecular dynamics simulation of water diffusion inside an amorphous polyacrylate latex film. *Journal of Polymer Science Part B: Polymer Physics*, vol. 45, pp. 884-891, 2007.
- [15] Ennari J., Neelov I., and Sundholm F., Molecular dynamics simulation of the PEO sulfonic acid anion in water. *Computational and Theoretical Polymer Science*, vol. 10, pp. 403-410, 2000.
- [16] Chen Y.J., Xu G.Y., Yuan S.L., and Sun H.Y., Molecular dynamics simulations of AOT at isoctane/water interface, *Colloids and Surfaces A. Physicochemical and Engineering Aspects*, vol. 273, pp. 174-178, 2006.
- [17] Wu J.Y., Liu Q.L., Xiong Y., Zhu A.M., and Chen Y., Molecular simulation of water/alcohol mixtures, adsorption and diffusion in zeolite 4A membranes, *The Journal of Physical Chemistry B*, vol. 113, pp. 4267-4274, 2009.
- [18] Kucukpinar E. and Doruker P., Effect of absorbed water on oxygen transport in EVOH matrices. *A molecular dynamics study*, *Polymer*, vol. 45, pp. 3555-3564, 2004.
- [19] Rajabpour A., Akizi F.Y., Heyhat M.M., and Gordiz K., Molecular dynamics simulation of the specific heat capacity of water-Cu nanofluids. *International Nano Letters*, vol. 3, pp. 132. 1-6, 2013.
- [20] Kang H., Zhang Y., Yang M., and Li L., Nonequilibrium molecular dynamics simulation of coupling between nanoparticles and base-fluid in a nanofluid, *Physics Letters A*, vol. 376, pp. 521-524, 2012.